

FIG. 1

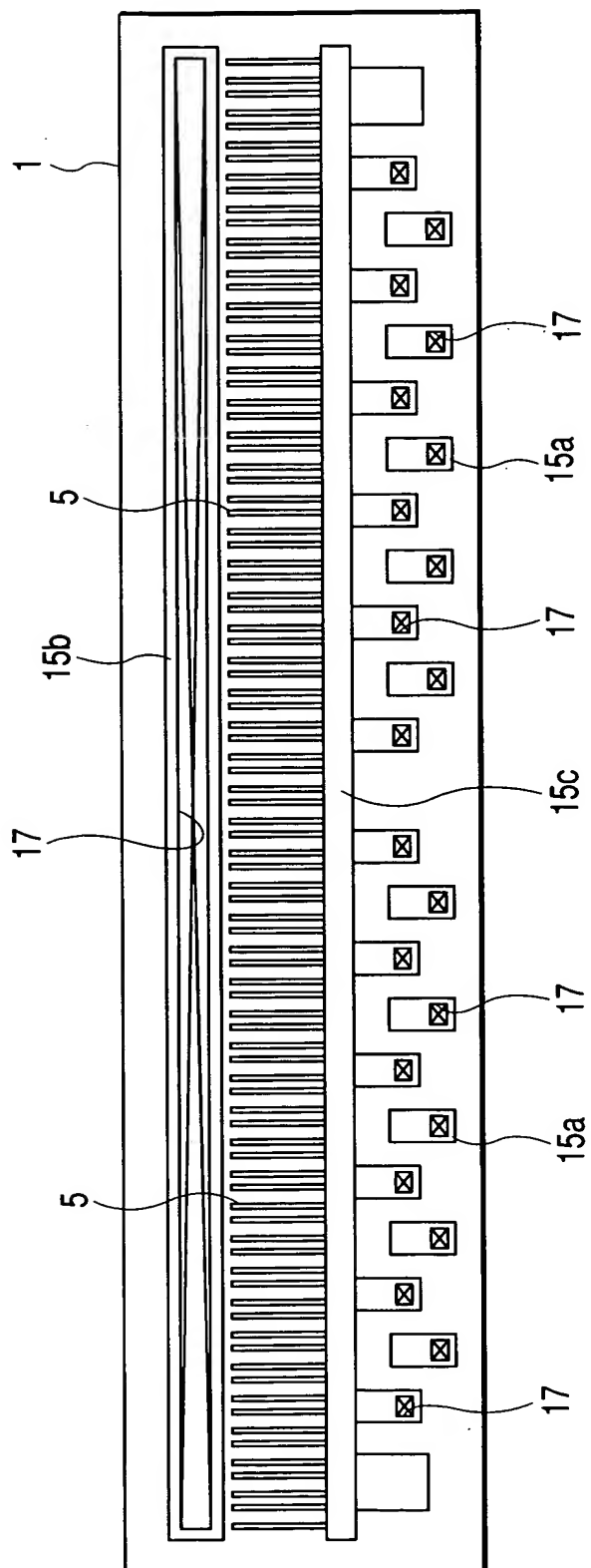


FIG. 2

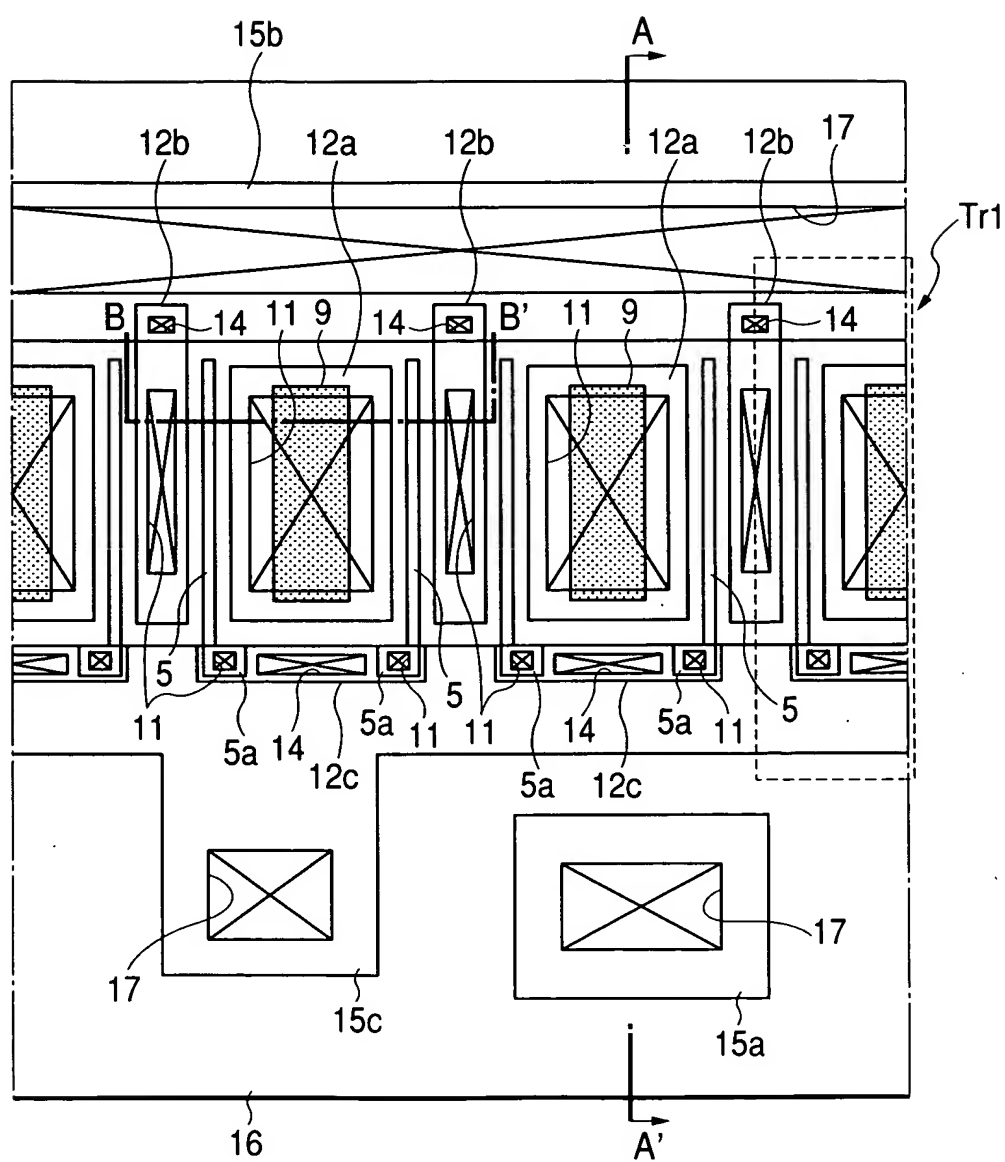


FIG. 3

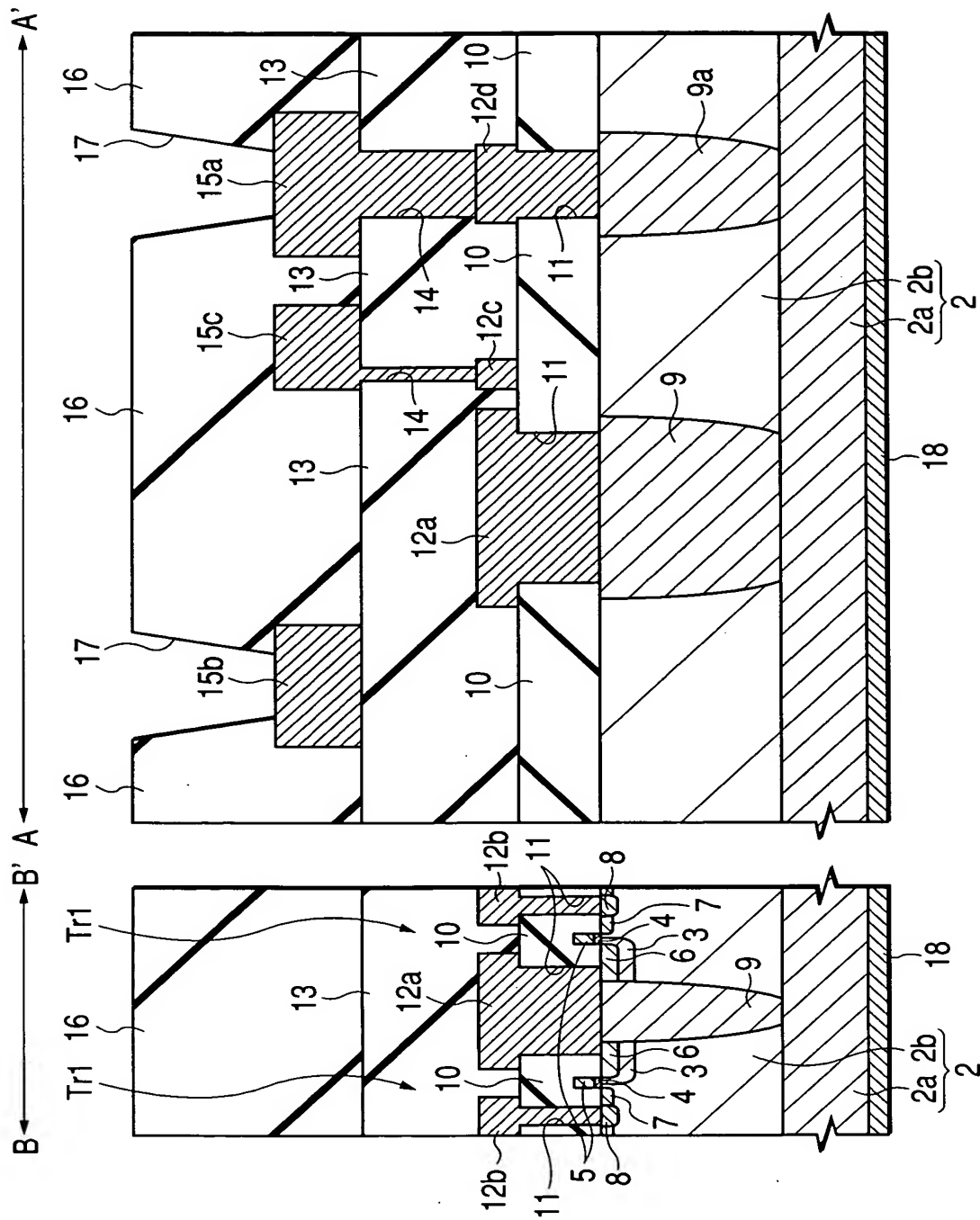


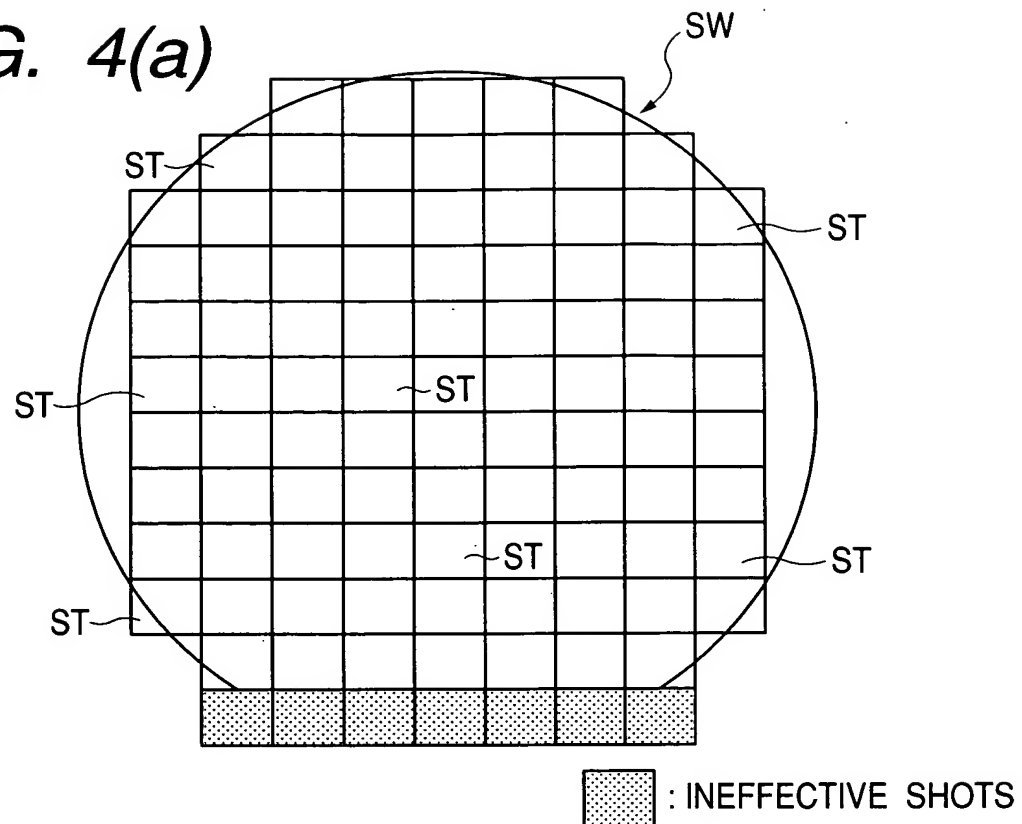
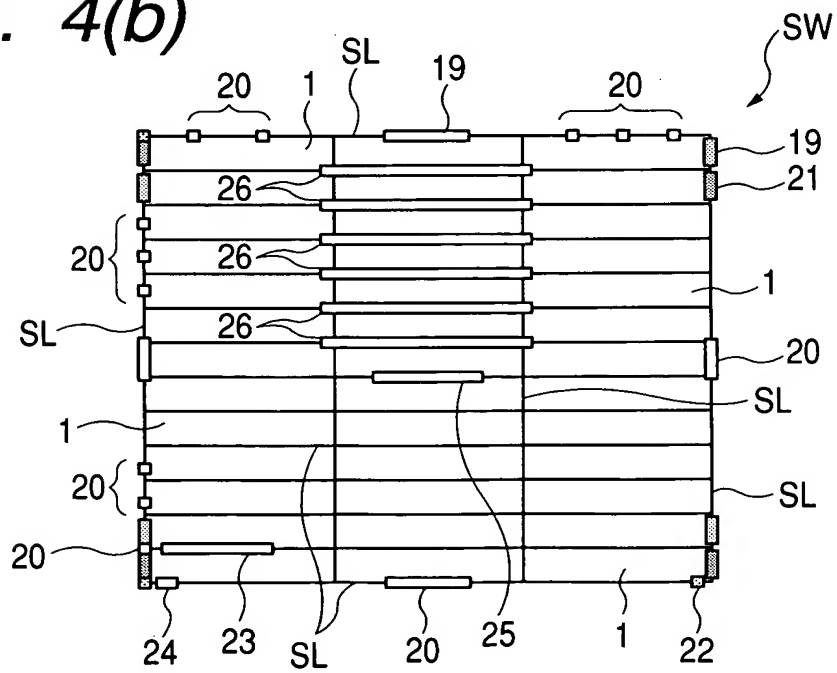
FIG. 4(a)**FIG. 4(b)**

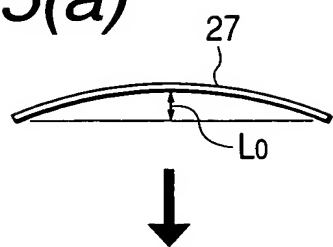
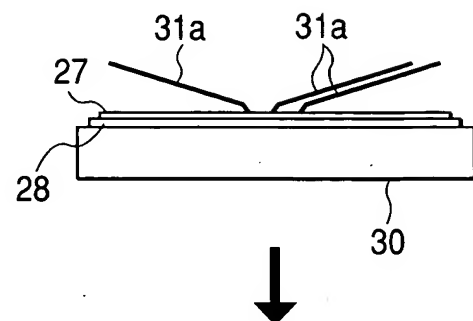
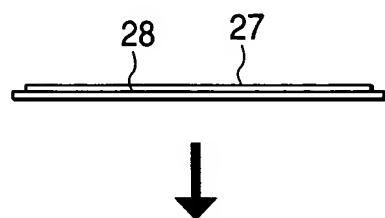
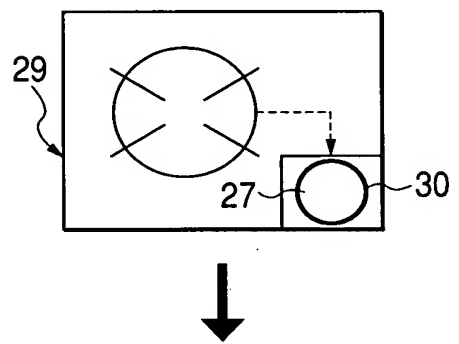
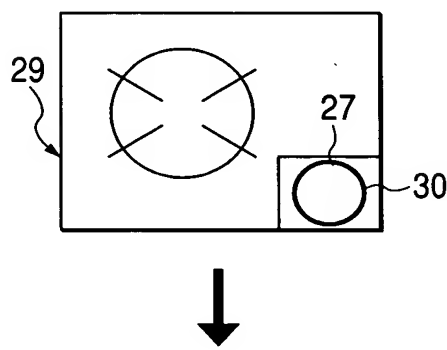
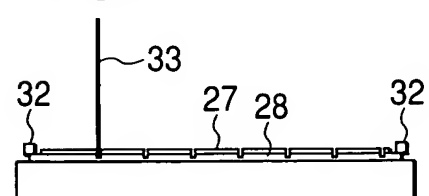
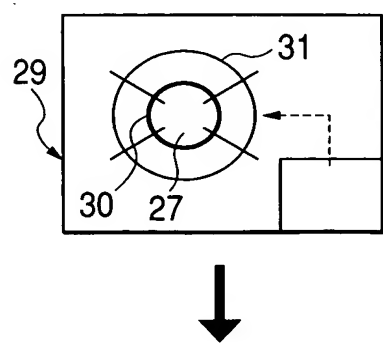
FIG. 5(a)**FIG. 5(e)****FIG. 5(b)****FIG. 5(f)****FIG. 5(c)****FIG. 5(g)****FIG. 5(d)**

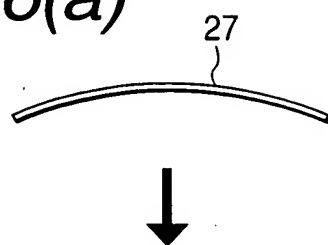
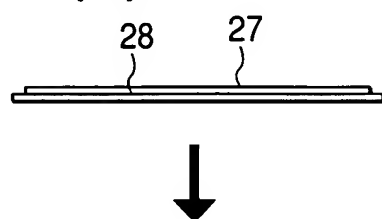
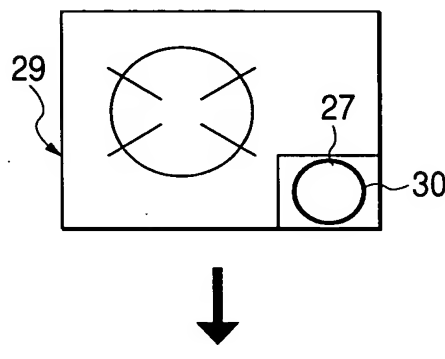
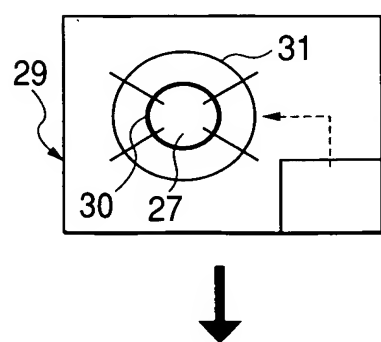
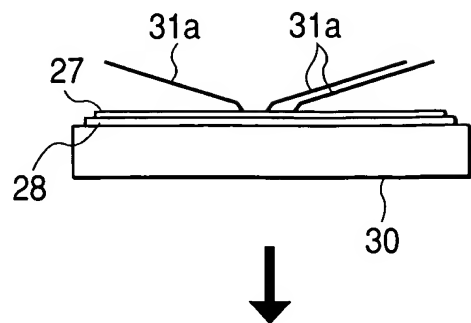
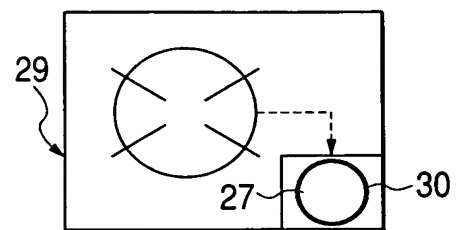
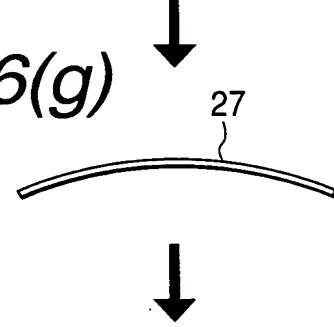
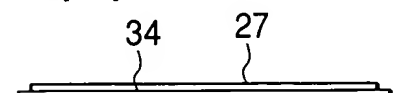
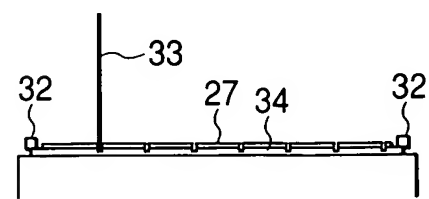
FIG. 6(a)**FIG. 6(b)****FIG. 6(c)****FIG. 6(d)****FIG. 6(e)****FIG. 6(f)****FIG. 6(g)****FIG. 6(h)****FIG. 6(i)**

FIG. 7

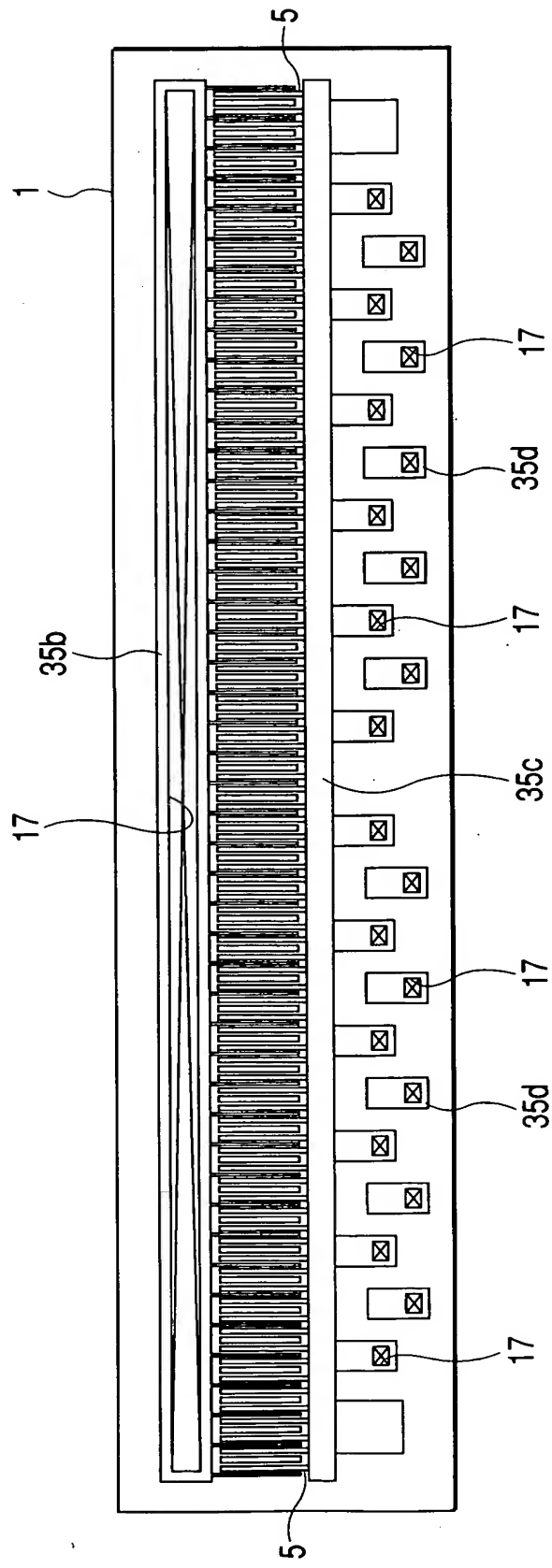


FIG. 8

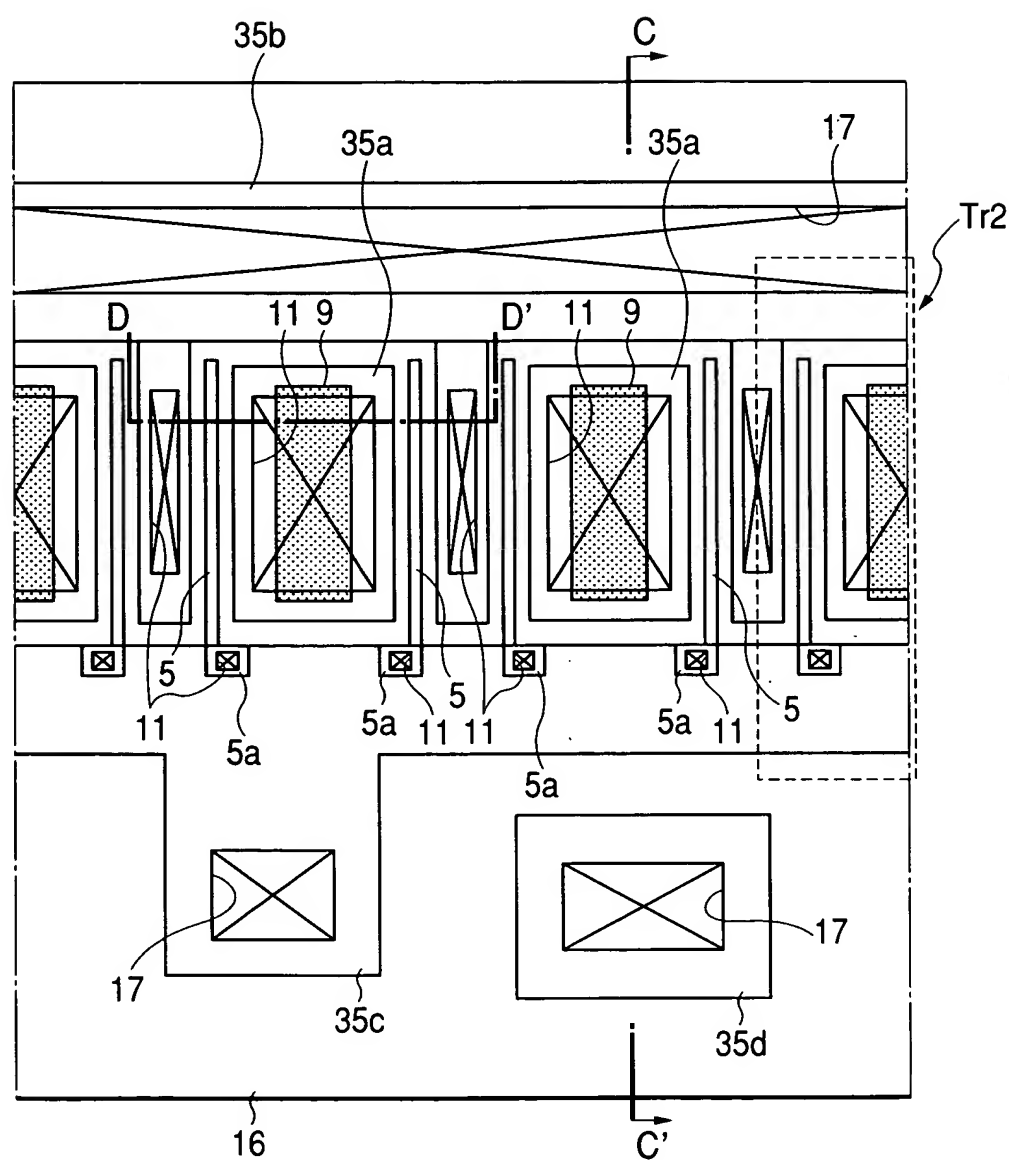


FIG. 9

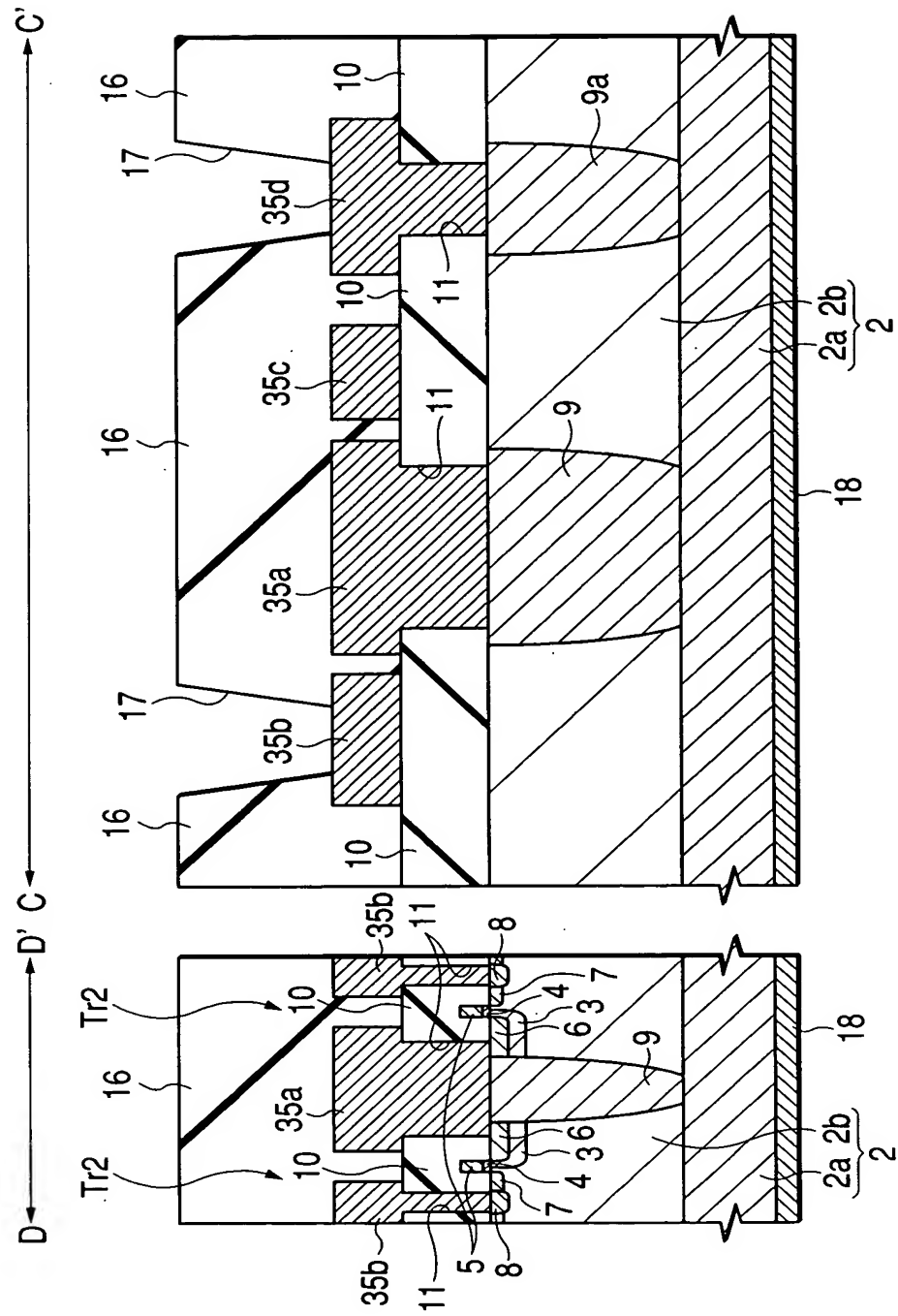
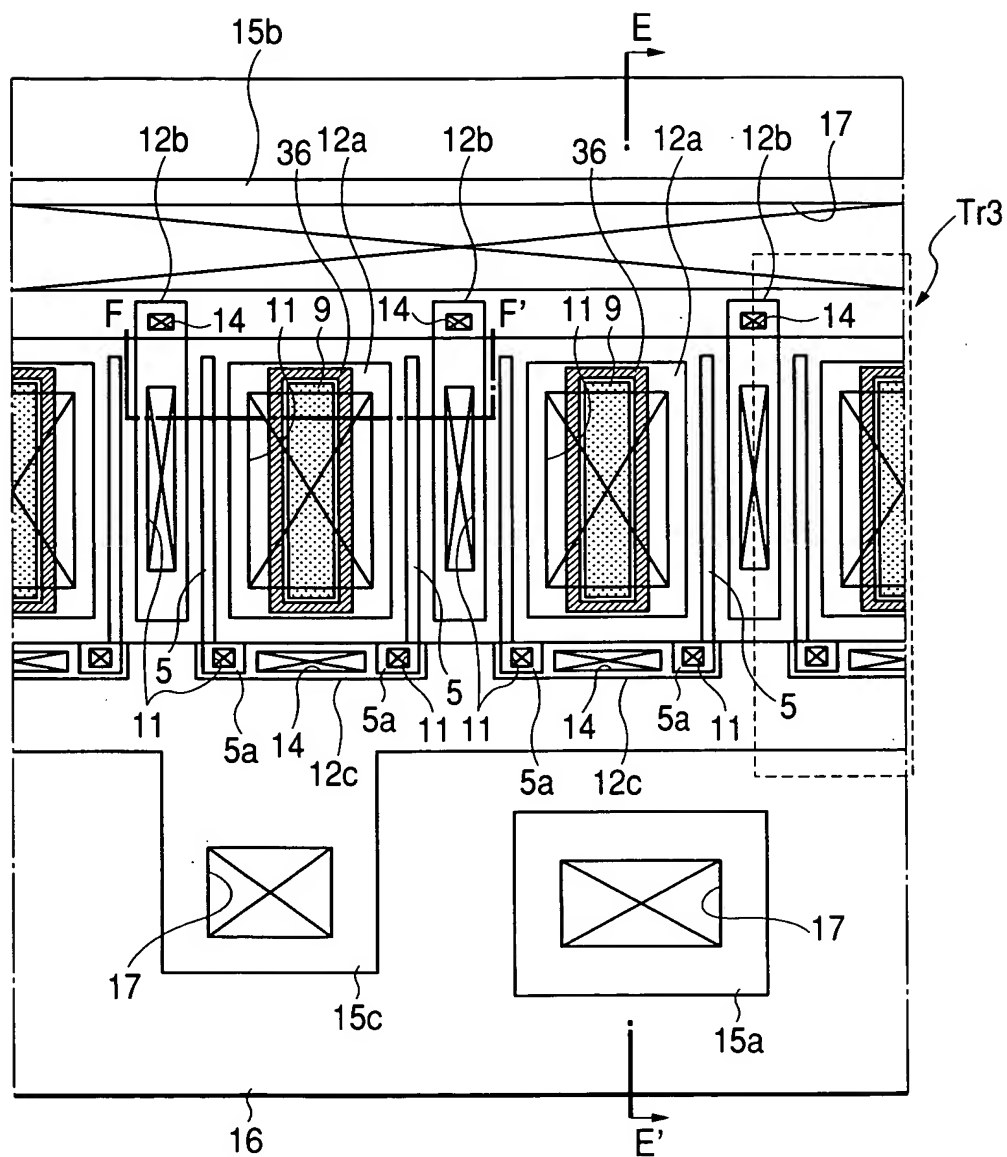


FIG. 10



9 : p TYPE SOURCE PENETRATING LAYERS
 36 : TRENCHES

FIG. 11

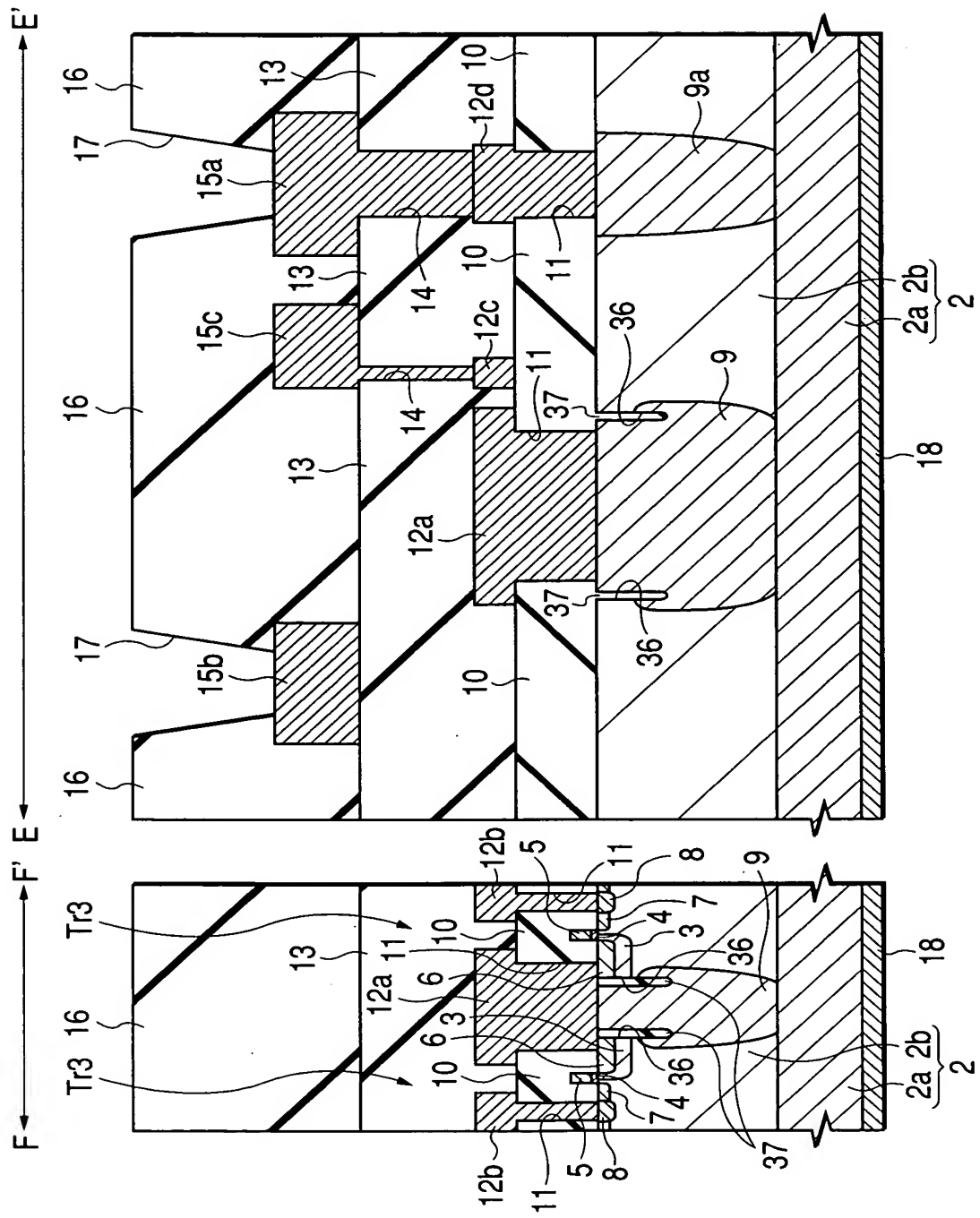


FIG. 12

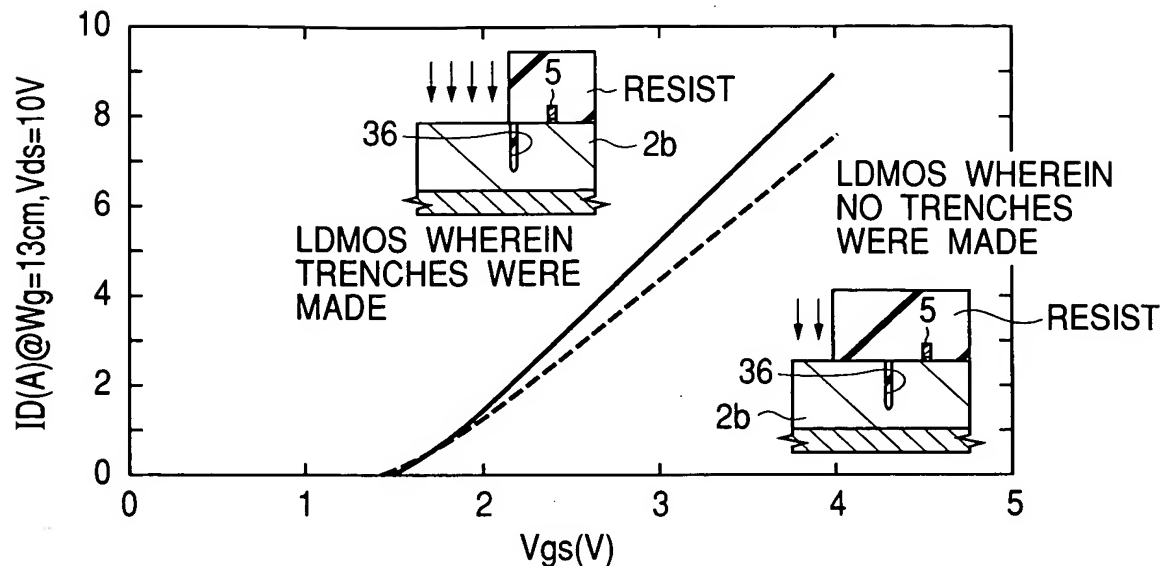


FIG. 13

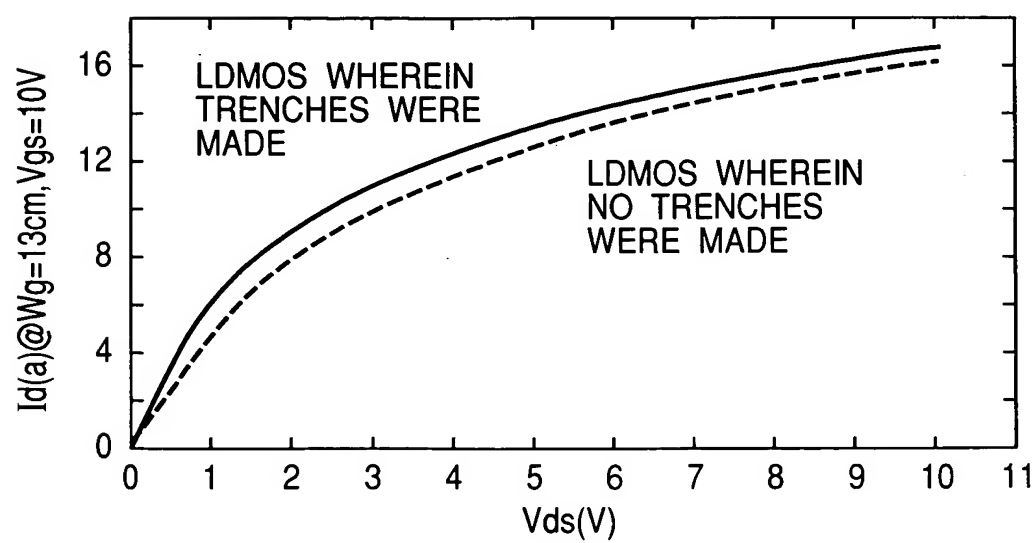


FIG. 14(a)

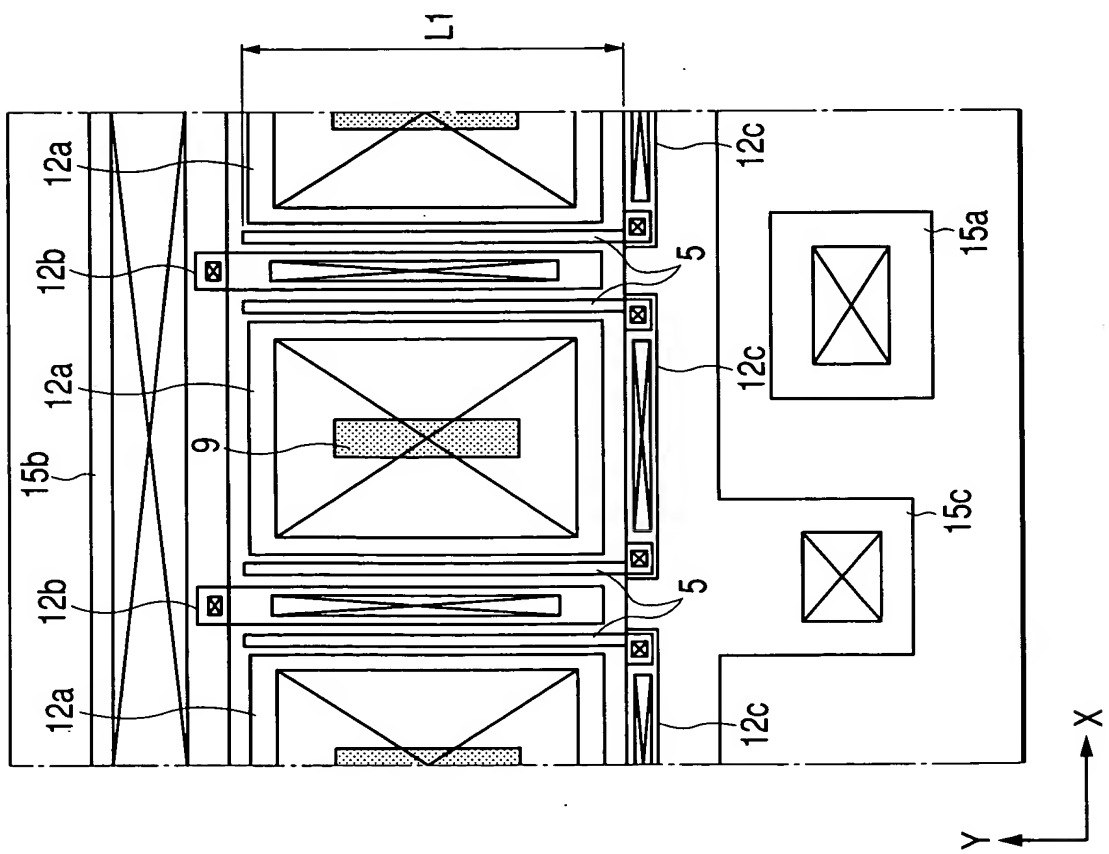


FIG. 14(b)

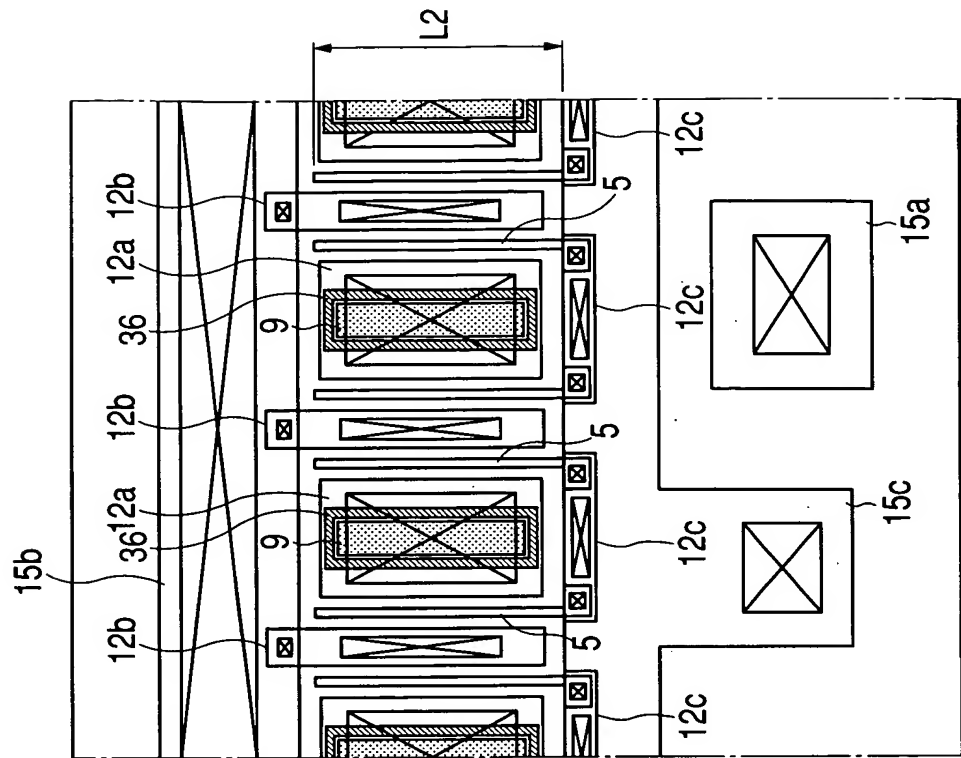


FIG. 15(a)

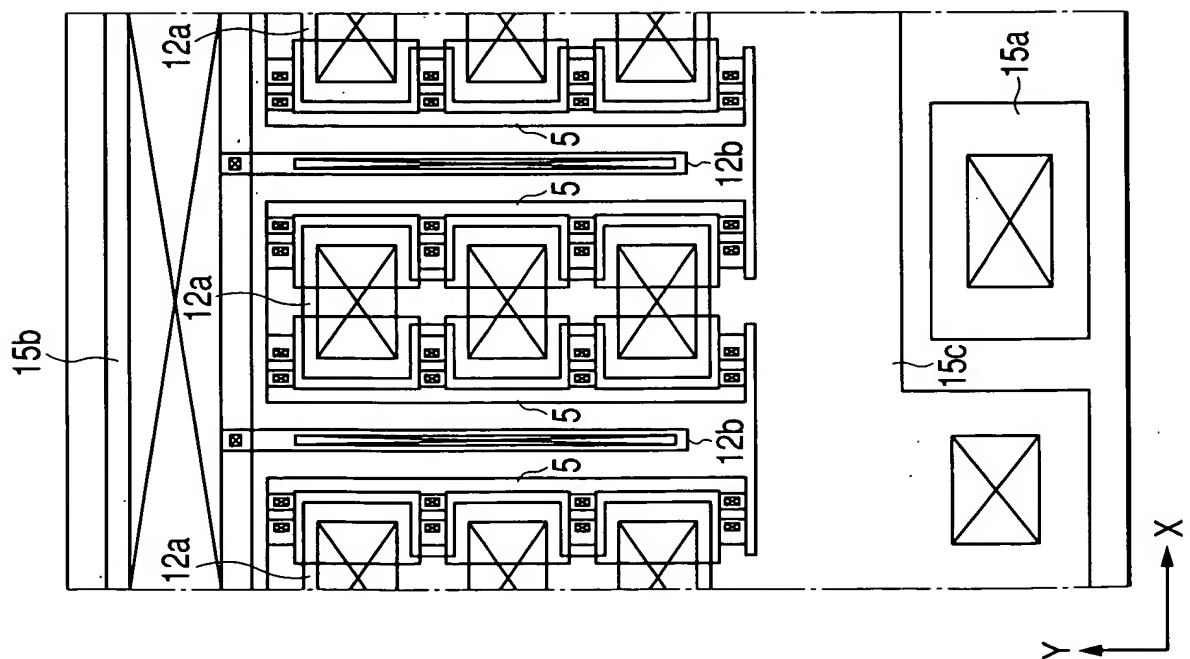


FIG. 15(b)

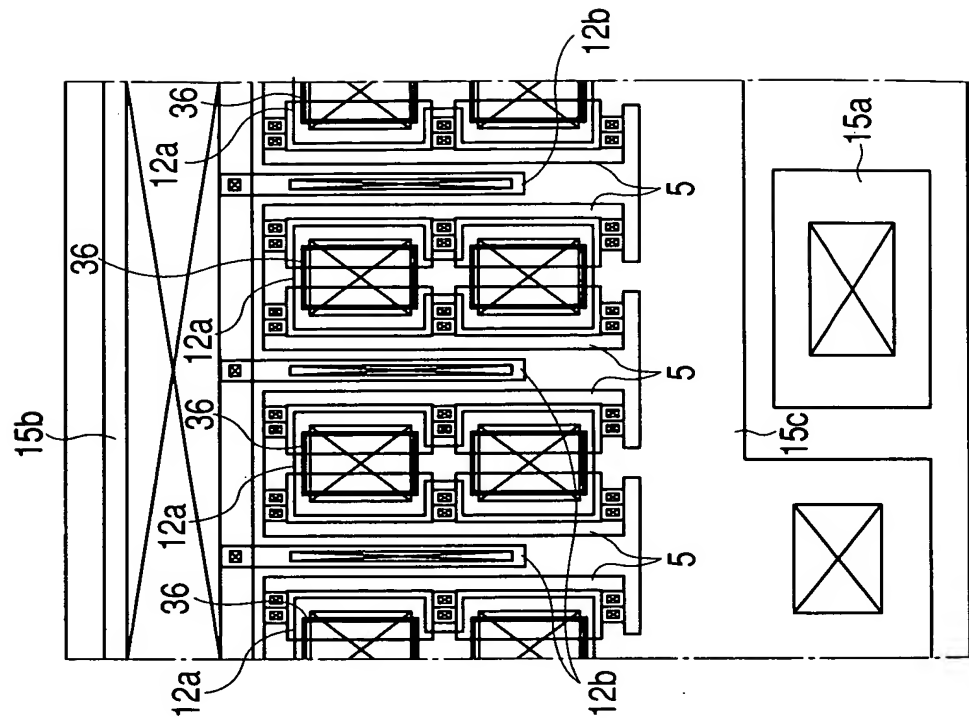


FIG. 16(a)

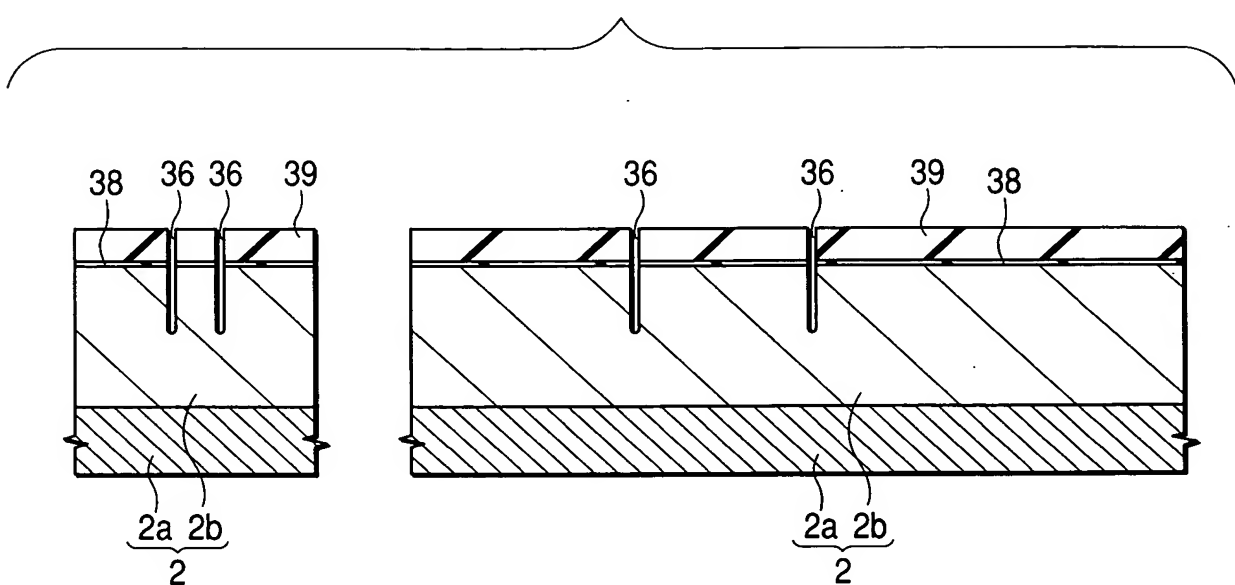


FIG. 16(b)

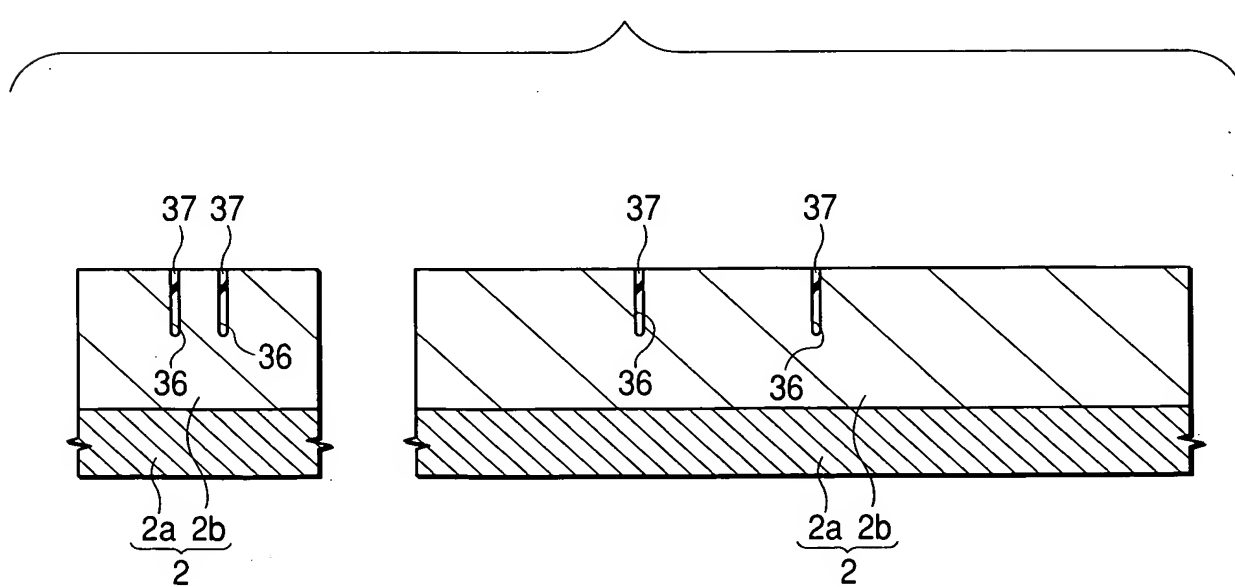


FIG. 17(a)

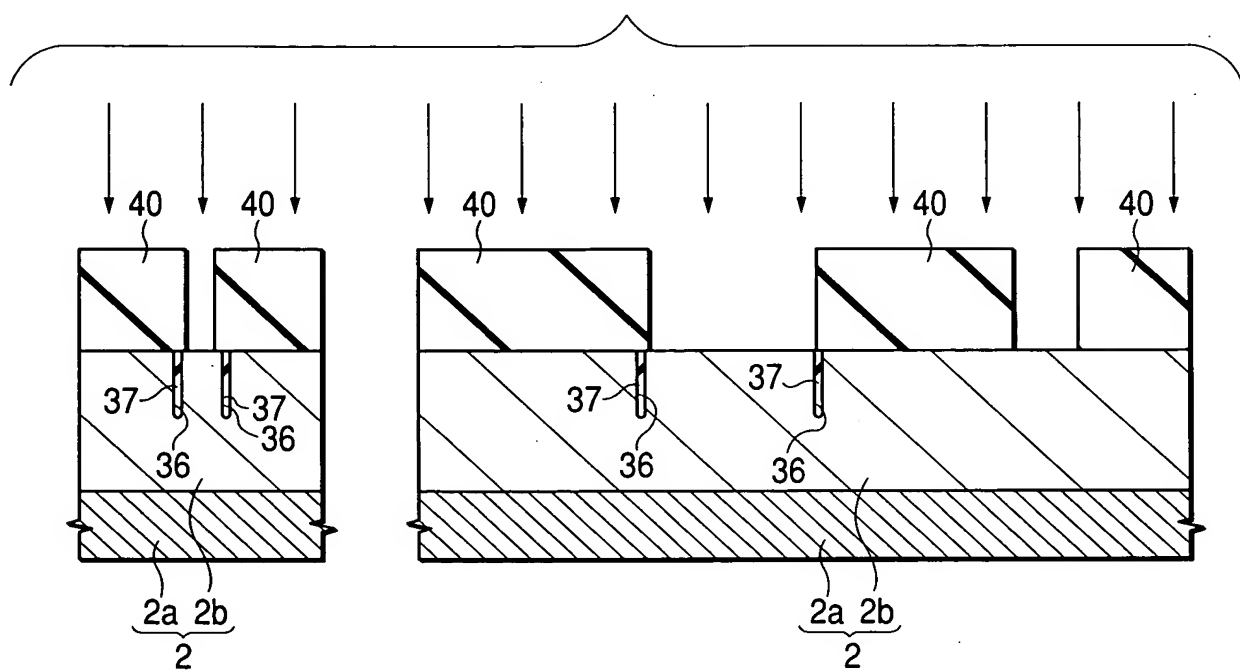


FIG. 17(b)

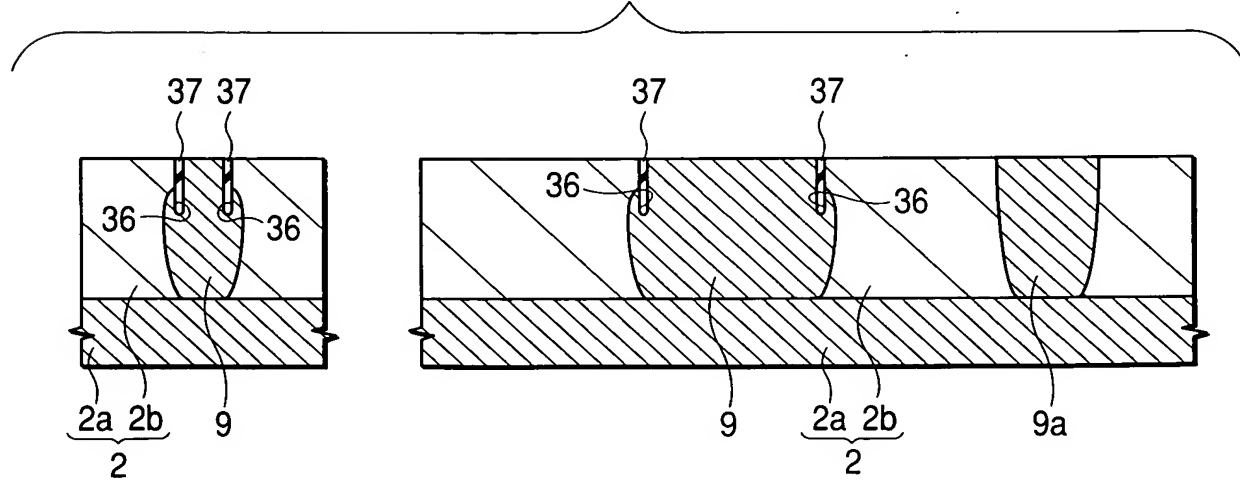


FIG. 18(a)

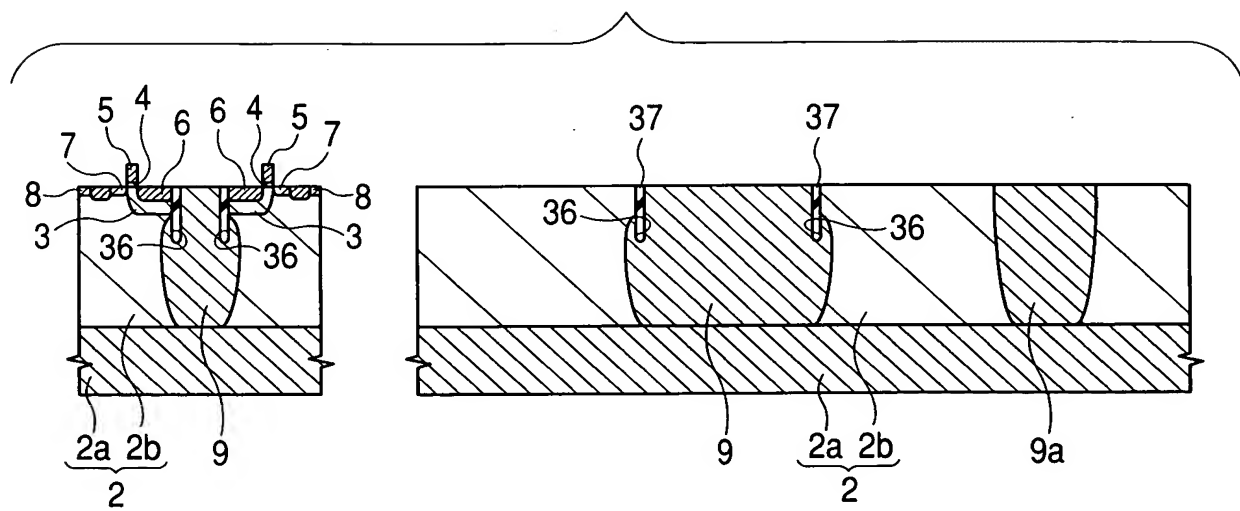


FIG. 18(b)

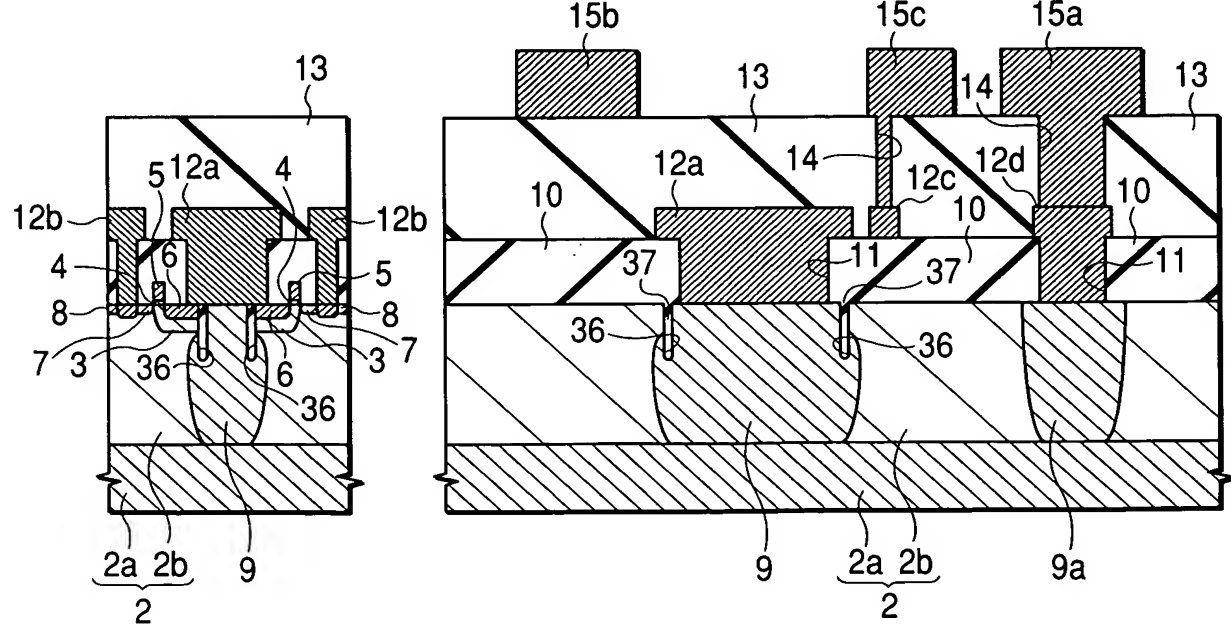


FIG. 19(a)

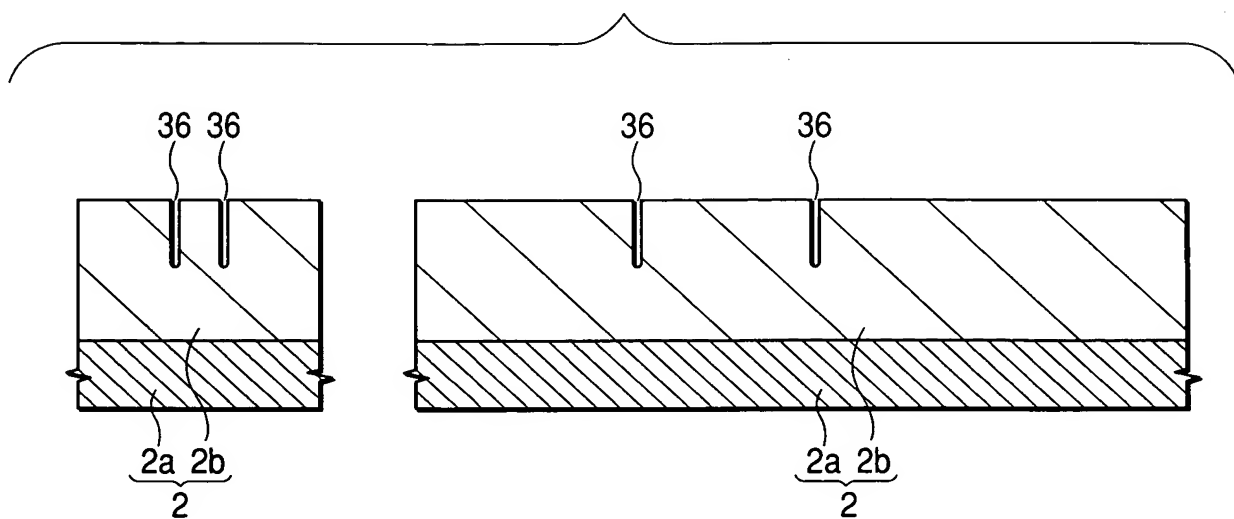


FIG. 19(b)

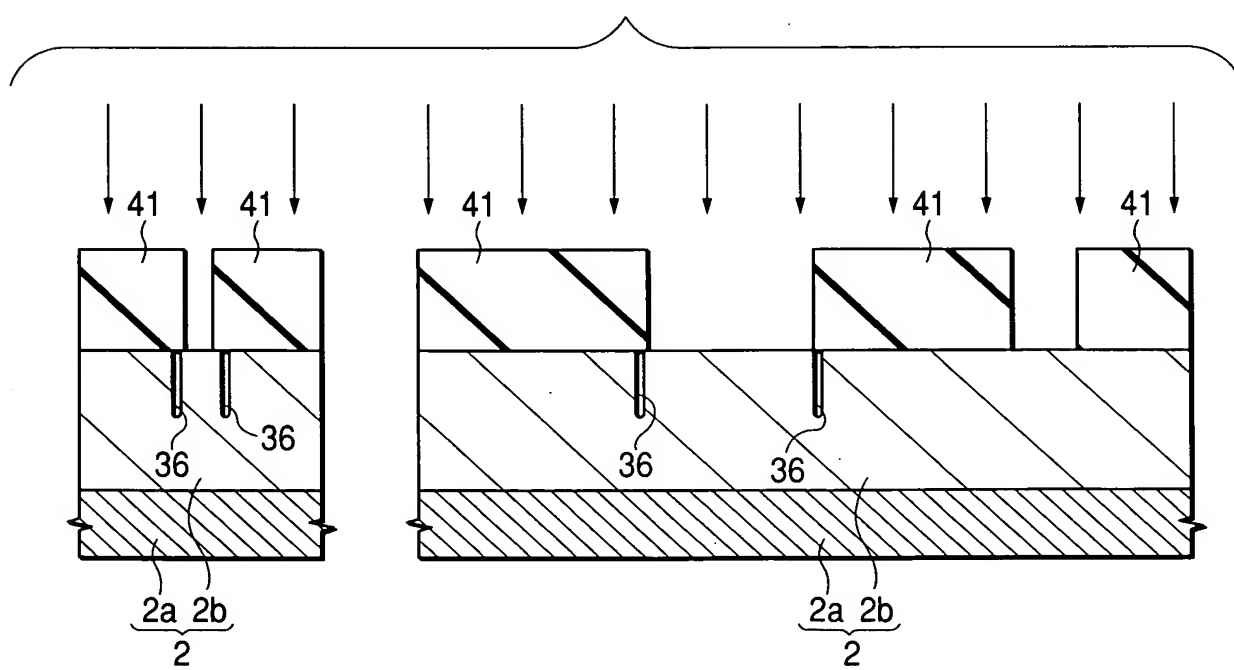


FIG. 20(a)

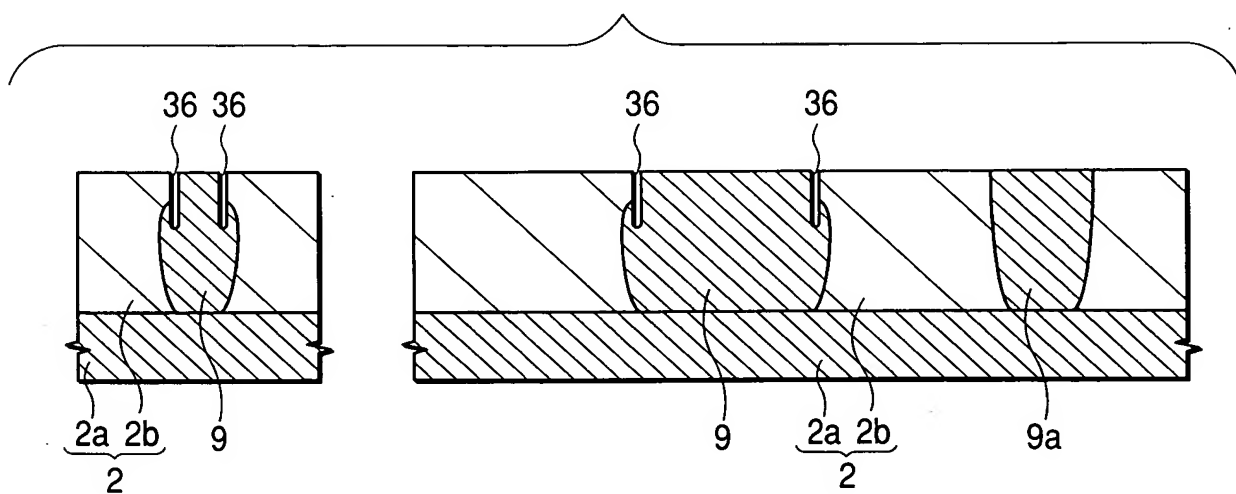


FIG. 20(b)

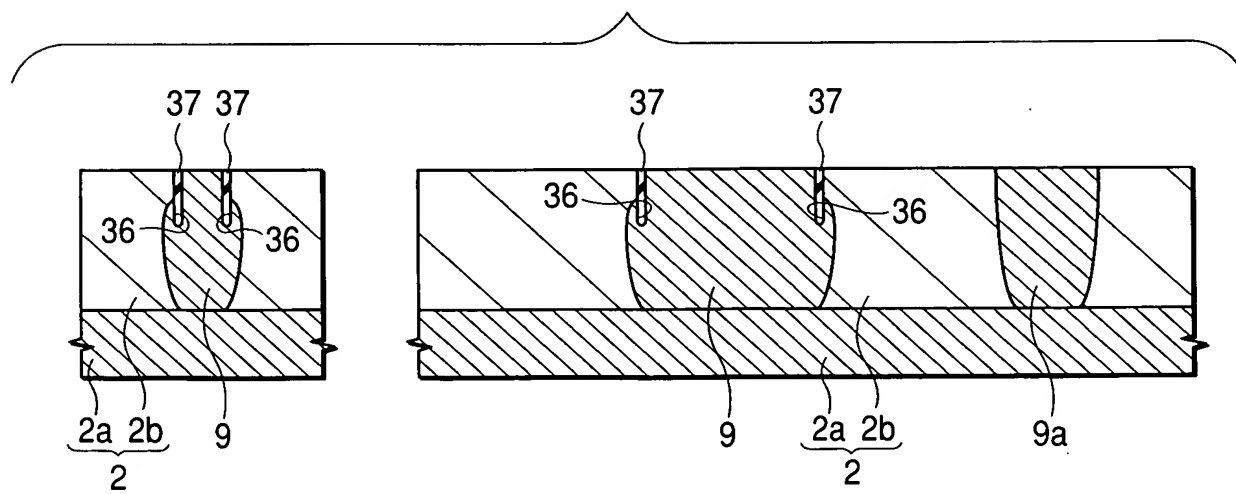


FIG. 21

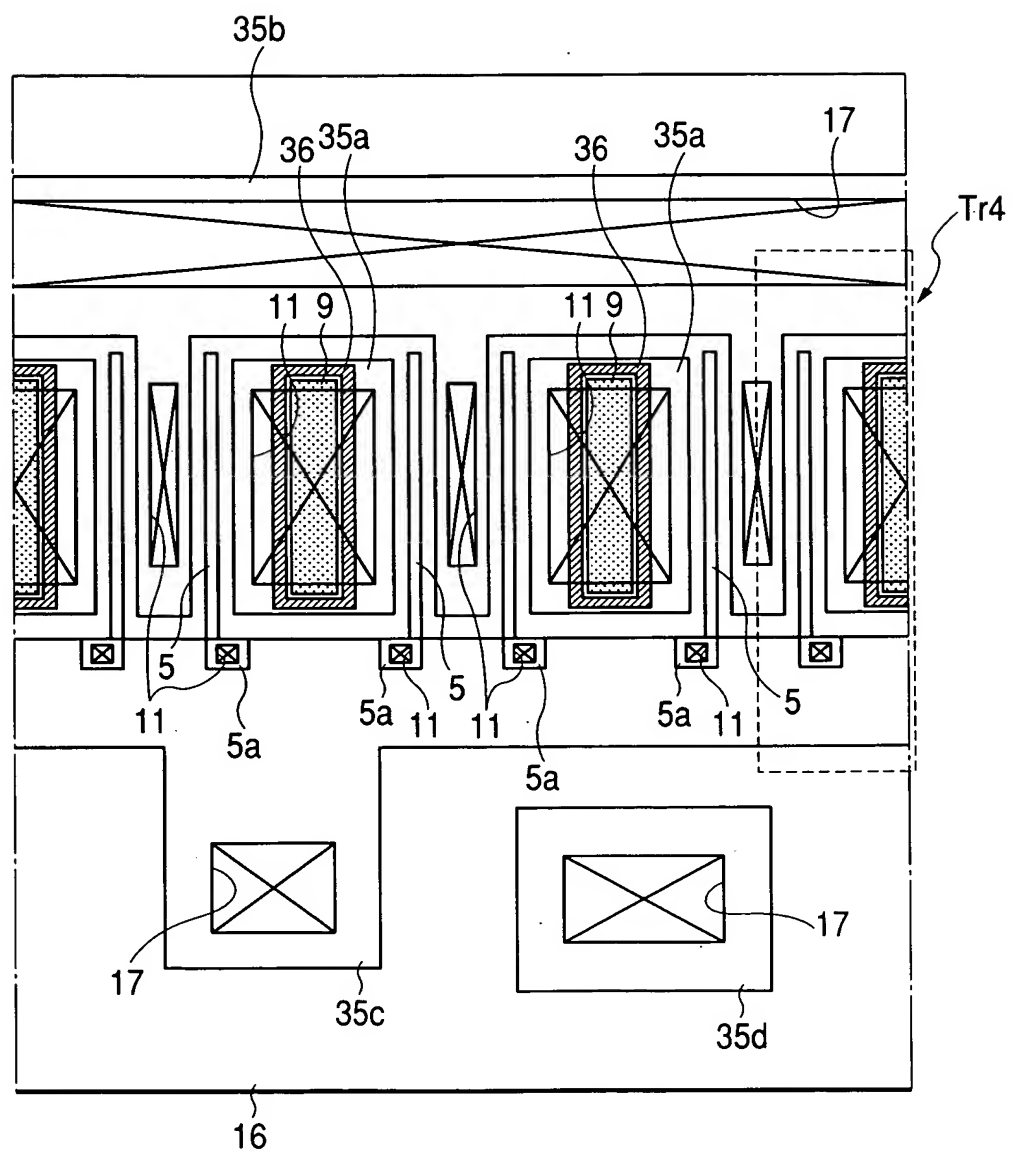


FIG. 22

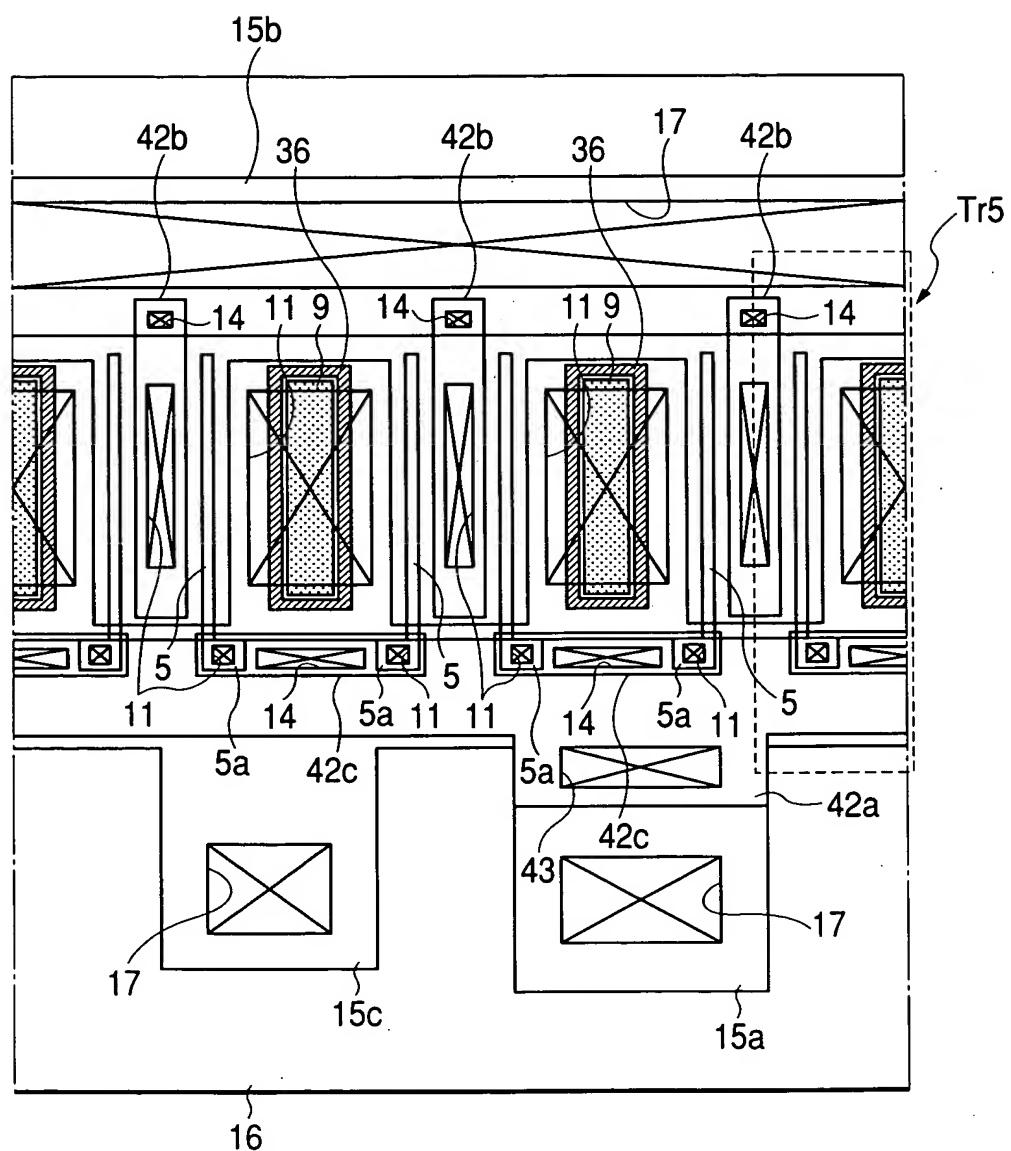


FIG. 23

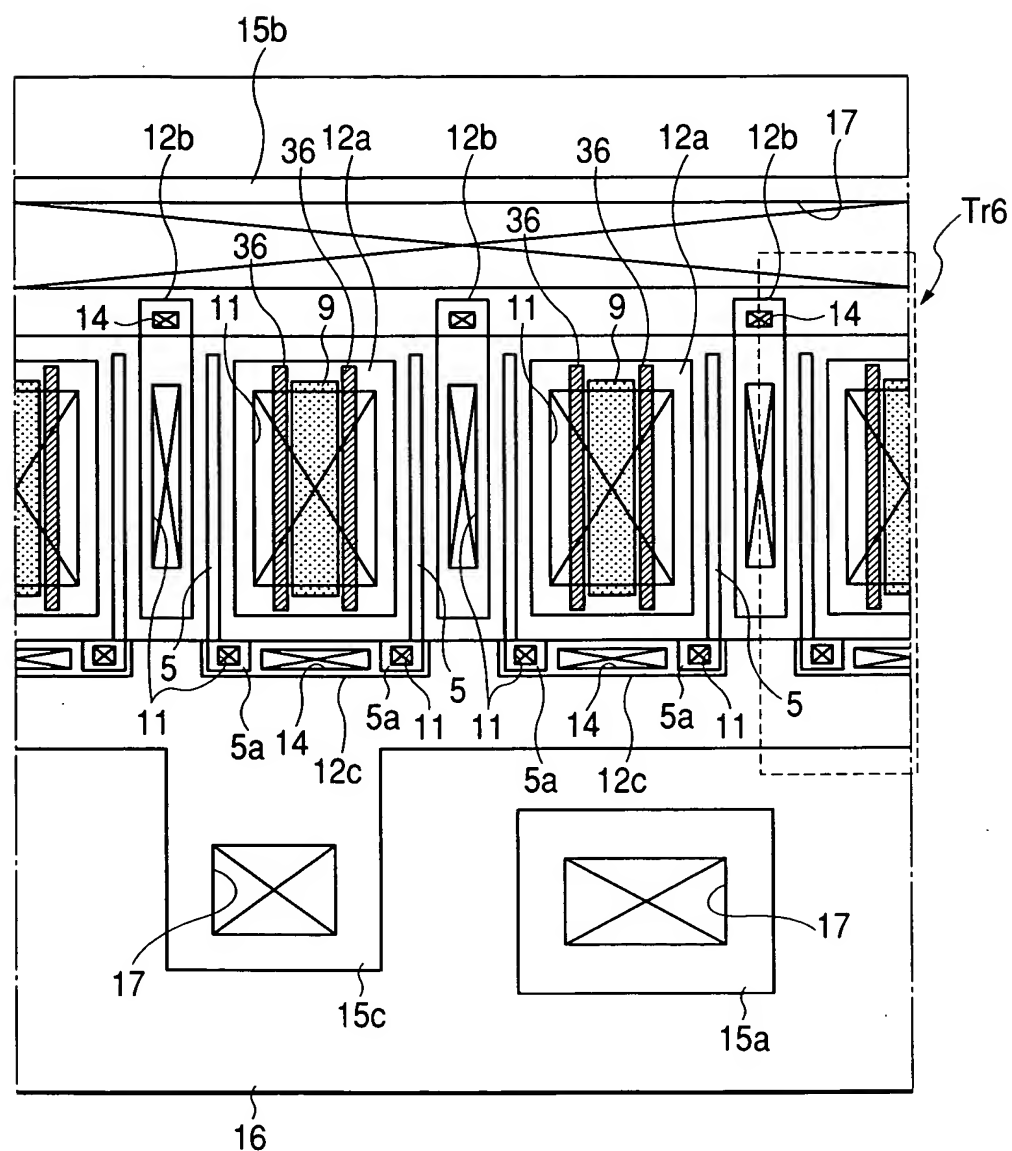


FIG. 24

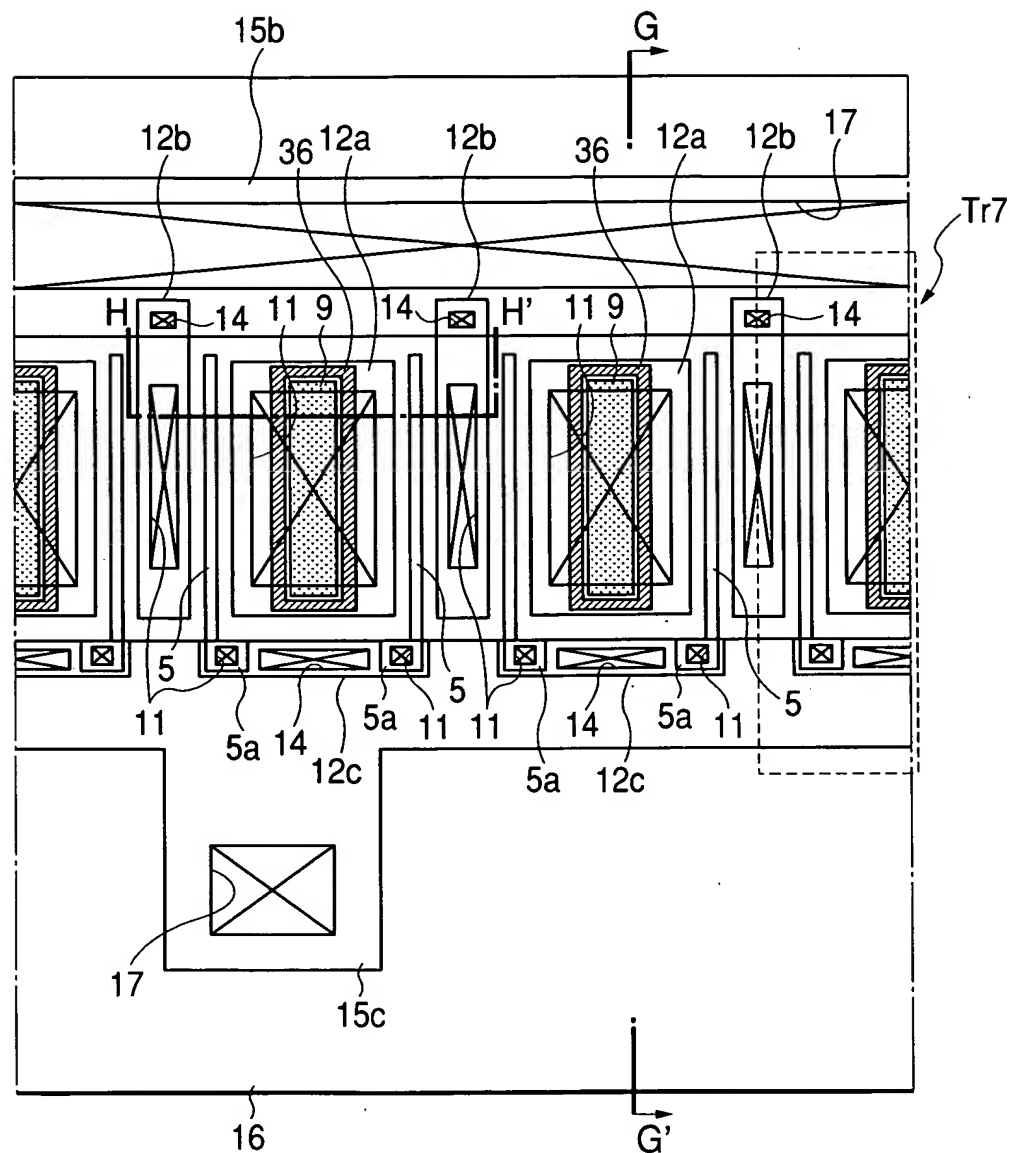


FIG. 25

